

*А.В. Кожевников, канд. техн. наук, Г.Е. Денисова*  
(Украина, Днепрпетровск, Национальный горный университет)

## **ОПЕРАТОРНЫЙ МЕТОД АНАЛИЗА ПЕРЕХОДНЫХ ПРОЦЕССОВ В КОНТАКТНОЙ СЕТИ ПОСТОЯННОГО ТОКА ПРИ НЕНУЛЕВЫХ НАЧАЛЬНЫХ УСЛОВИЯХ**

В настоящее время при анализе аварийных режимов работы электрических сетей общепринятым является подход, в котором распределенные параметры сети заменяются сосредоточенными [1]. Такой подход позволяет получить удовлетворительные результаты при расчете установившихся режимов, однако зачастую неприемлем для анализа переходных процессов для протяженных линий электропередачи и контактных сетей. Между тем основным видом помех, снижающих устойчивость функционирования средств защиты, являются помехи, возникающие при коммутациях мощных электропотребителей. В то же время современной тенденцией развития защитных систем электрооборудования от токов коротких замыканий и утечек является создание многопараметрических средств, реагирующих и на параметры переходных процессов при возникновении аварийных ситуаций [2]. Таким образом, развитие методов анализа переходных процессов в электрических цепях с распределенными параметрами – актуальная задача.

Наиболее распространенными и перспективными для анализа переходных процессов в цепях с распределенными параметрами являются методы, основанные на операторном подходе [3]. Данный подход позволяет приводить систему дифференциальных уравнений в частных производных, определяющих зависимости напряжений и токов в цепи от времени и пространственной координаты, к системе обыкновенных дифференциальных уравнений относительно изображений напряжений и токов. При нулевых начальных условиях указанная система сводится к двум независимым однородным уравнениям, для которых могут быть получены общие аналитические решения [3]. В случае ненулевых начальных условий уравнения являются неоднородными и их аналитические решения определяются видом возмущающих функций.

Переход от полученных решений–изображений напряжений и токов к их функциям–оригиналам в аналитическом виде возможен только в том случае, если изображения представляют собой дробно-рациональные функции или являются линейными комбинациями изображений, оригиналы которых табулированы [4]. Для других видов изображений переход к оригиналам возможен с применением численных методов обратного преобразования Лапласа [4 – 6], которые однако предполагают аналитическое представление обрабатываемого изображения. Алгоритм, описанный в работе [5], реализован в виде расширения Toolbox среды математических расчетов MATLAB. В статье [6] проанализированы переходные процессы в длинных линиях при нулевых начальных условиях, определены ограничения, накладываемые на параметры цепи, при которых

изображения напряжений и токов являются мероморфными функциями, а также предложен метод обращения таких изображений.

Целью работы – разработка операторного метода анализа переходных процессов в контактной сети постоянного тока при ненулевых начальных условиях.

В операторном виде система волновых уравнений для длинной линии при ненулевых начальных условиях имеет вид [3]:

$$\begin{cases} \frac{d^2 U(x, p)}{dx^2} = Z_0 [Y_0 U(x, p) - C_0 U(x, 0)] + L_0 \frac{dI(x, 0)}{dx}; \\ \frac{d^2 I(x, p)}{dx^2} = Y_0 [Z_0 I(x, p) - L_0 I(x, 0)] + C_0 \frac{dU(x, 0)}{dx}. \end{cases} \quad (1)$$

где  $Z_0 = pL_0 + R_0$ ,  $Y_0 = pC_0 + G_0$ , а  $C_0$ ,  $G_0$ ,  $L_0$ ,  $R_0$  – соответственно емкость, проводимость, индуктивность и сопротивление единицы длины линии;  $U(x, p)$ ,  $I(x, p)$  – изображения напряжения и тока в точке линии с координатой  $x$ .

Функции начальных условий  $I = I(x, 0)$ ,  $U = U(x, 0)$  для длинной линии, подключенной вначале к источнику постоянного напряжения с ЭДС  $E_g$  и внутренним сопротивлением  $R_g$  и нагруженной в конце на сопротивление  $R_l$ , определяются из системы волновых уравнений для стационарного случая, где производные тока и напряжения по времени равны нулю:

$$\begin{cases} \frac{d^2 U(x, 0)}{dx^2} = R_0 G_0 U(x, 0); \\ \frac{d^2 I(x, 0)}{dx^2} = R_0 G_0 I(x, 0). \end{cases} \quad (2)$$

Общие решения уравнений (2) имеют вид:

$$\begin{cases} U(x, 0) = K_1 \exp(Ix) + K_2 \exp(-Ix); \\ I(x, 0) = K_3 \exp(Ix) + K_4 \exp(-Ix). \end{cases} \quad (3)$$

где  $I = \sqrt{R_0 G_0}$ . При определении граничных условий, позволяющих вычислить значения коэффициентов  $K_1 - K_4$ , используется выражение для сопротивления двухполюсника  $R(x)$ , представляющего собой линию длиной  $x$  и нагруженную на сопротивление величиной  $R_l$ :

$$\left\{ \begin{array}{l} R(x) = a \frac{\frac{a + R_l}{a - R_l} \exp(2lx) - 1}{\frac{a + R_l}{a - R_l} \exp(2lx) + 1} \quad \text{при } a > R_l; \\ R(x) = a \frac{1 + \frac{R_l - a}{R_l + a} \exp(-2lx)}{1 - \frac{R_l - a}{R_l + a} \exp(-2lx)} \quad \text{при } a \leq R_l, \end{array} \right. \quad (4)$$

где  $a = \sqrt{R_0/G_0}$ . Формулы (4) представляют собой частные случаи известного соотношения для определения сопротивления длинной линии на переменном токе, где коэффициенты при экспонентах носят названия коэффициентов отражения. Значения коэффициентов  $K_1 - K_4$  могут быть определены из систем линейных уравнений:

$$\left\{ \begin{array}{l} K_1 + K_2 = U(0,0) = \frac{E_g R(l)}{R(l) + R_g}; \\ l K_1 - l K_2 = \frac{dU(x,0)}{dx} \Big|_{x=0} = -R_0 I(0,0) = -\frac{E_g R_0}{R(l) + R_g}; \end{array} \right. \quad (5a)$$

$$\left\{ \begin{array}{l} K_3 + K_4 = I(0,0) = \frac{E_g}{R(l) + R_g}; \\ l K_3 - l K_4 = \frac{dI(x,0)}{dx} \Big|_{x=0} = -G_0 U(0,0) = -\frac{E_g R(l) G_0}{R(l) + R_g}, \end{array} \right. \quad (5b)$$

где  $l$  – длина линии. Их решения имеют следующий вид:

$$K_1 = \frac{E_g (l R(l) - R_0)}{2l (R(l) + R_g)}; \quad K_2 = \frac{E_g (l R(l) + R_0)}{2l (R(l) + R_g)}; \quad K_3 = -\frac{K_1}{a}; \quad K_4 = \frac{K_2}{a}. \quad (6)$$

С учетом выражений (3) система уравнений (1) может быть записана так:

$$\left\{ \begin{array}{l} \frac{d^2 U(x,p)}{dx^2} = Z_0 Y_0 U(x,p) - (Z_0 C_0 + L_0 G_0) (K_1 \exp(lx) + K_2 \exp(-lx)); \\ \frac{d^2 I(x,p)}{dx^2} = Z_0 Y_0 I(x,p) - (Y_0 L_0 + C_0 R_0) (K_3 \exp(lx) + K_4 \exp(-lx)). \end{array} \right. \quad (7)$$

Данные уравнения – обыкновенные линейные дифференциальные уравнения второго порядка, где возмущающие функции представляются линейными

комбинациями экспоненциальных функций. Общие решения (7) следующие:

$$\begin{cases} U(x, p) = A_1 \exp(gx) + A_2 \exp(-gx) + B_1 \exp(Ix) + B_2 \exp(-Ix); \\ I(x, p) = -\frac{A_1}{Z_W} \exp(gx) + \frac{A_2}{Z_W} \exp(-gx) + B_3 \exp(Ix) + B_4 \exp(-Ix), \end{cases} \quad (8)$$

где  $Z_W = \sqrt{(pL_0 + R_0)/(pC_0 + G_0)} = \sqrt{Z_0/Y_0}$  – операторное волновое сопротивление;  $g = \sqrt{(pL_0 + R_0)(pC_0 + G_0)} = \sqrt{Z_0Y_0}$  – операторный коэффициент распространения. Члены с коэффициентами  $A_1 - A_2$  представляют собой общие решения однородных уравнений, соответствующих системе (7) [3], а с коэффициентами  $B_1 - B_4$  – частные решения неоднородных уравнений. Значения  $\{B_i\}_{i=1,\dots,4}$  определяются путем подстановок членов–решений в уравнения (7), где возмущающие функции представляются экспонентами с теми же показателями:

$$I^2 B_i \exp[(-1)^{i+1} Ix] = g^2 B_i \exp[(-1)^{i+1} Ix] - K_i (Z_0 C_0 + L_0 G_0) \exp[(-1)^{i+1} Ix]; \quad (9)$$

$$B_i = \frac{K_i (Z_0 C_0 + L_0 G_0)}{g^2 - I^2} = \frac{K_i (Y_0 L_0 + C_0 R_0)}{g^2 - I^2} = \frac{K_i}{p}, \quad (10)$$

где величины  $\{K_i\}_{i=1,\dots,4}$  – действительные и определяются соотношениями (5 а, б).

Опуская промежуточные вычисления, аналогичные тем, которые применяются при нулевых начальных условиях [3], для изображений напряжения и тока при ненулевых условиях окончательно можно записать:

$$\begin{aligned} U(x, p) = U_l(p) & \left[ \operatorname{ch}(g(l-x)) + \frac{Z_W}{Z_l} \operatorname{sh}(g(l-x)) \right] + \frac{1}{p} \{ K_1 [\exp(Ix) - \\ & - \operatorname{ch}(g(l-x)) \exp(Il)] + K_2 [\exp(-Ix) - \operatorname{ch}(g(l-x)) \exp(-Il)] - \\ & - Z_W \operatorname{sh}(g(l-x)) [K_3 \exp(Il) + K_4 \exp(-Il)] \}; \end{aligned} \quad (11)$$

$$\begin{aligned} I(x, p) = U_l(p) & \left[ \frac{1}{Z_l} \operatorname{ch}(g(l-x)) + \frac{1}{Z_W} \operatorname{sh}(g(l-x)) \right] + \frac{1}{p} \{ K_3 [\exp(Ix) - \\ & - \operatorname{ch}(g(l-x)) \exp(Il)] + K_4 [\exp(-Ix) - \operatorname{ch}(g(l-x)) \exp(-Il)] - \\ & - \frac{1}{Z_W} \operatorname{sh}(g(l-x)) [K_1 \exp(Il) + K_2 \exp(-Il)] \}. \end{aligned} \quad (12)$$

Здесь  $U_l(p)$  обозначено изображение напряжения на нагрузке, которое определяется как

$$\begin{aligned}
U_l(p) = & \left\{ E_g(p) - \frac{1}{p} \left[ K_1 \left( 1 - \operatorname{ch}(gl) \exp(Il) - \frac{Z_g}{Z_w} \operatorname{sh}(gl) \exp(Il) \right) + K_2 \times \right. \right. \\
& \times \left. \left( 1 - \operatorname{ch}(gl) \exp(-Il) - \frac{Z_g}{Z_w} \operatorname{sh}(gl) \exp(-Il) \right) + K_3 \left( Z_g (1 - \operatorname{ch}(gl) \exp(Il)) - \right. \right. \\
& \left. \left. - Z_w \operatorname{sh}(gl) \exp(Il) \right) + K_4 \left( Z_g (1 - \operatorname{ch}(gl) \exp(-Il)) - Z_w \operatorname{sh}(gl) \exp(-Il) \right) \right\} \times \\
& \times \left[ \left( 1 + \frac{Z_g}{Z_l} \right) \operatorname{ch}(gl) + \left( \frac{Z_w}{Z_l} + \frac{Z_g}{Z_w} \right) \operatorname{sh}(gl) \right]^{-1},
\end{aligned} \tag{13}$$

где  $E_g(p)$  – изображение напряжения источника;  $Z_g, Z_l$  – операторные сопротивления источника и нагрузки.

В работе [6] показано, что при нулевых начальных условиях для линии без искажений, когда  $E_g(p)$  является дробно-рациональной функцией, изображения  $U(x, p)$  и  $I(x, p)$  – мероморфны и имеют конечное число полюсов, а также предложен численный метод для нахождения их оригиналов. Члены, обуславливающие ненулевые начальные условия, в выражения (11) – (13) входят аддитивно и являются дробно-рациональными функциями. Следовательно, при выполнении указанных ограничений  $U(x, p)$  и  $I(x, p)$  также будут представлять собой мероморфные функции с конечным числом полюсов и для их обращения может быть применен упомянутый выше метод.

При тестировании соотношений (11) – (13) были рассмотрены частные случаи, допускающие относительно простые аналитические решения.

Так, для линии без искажений, которая в установившемся режиме в своем начале была подключена к источнику постоянного напряжения и работала на холостом ходу, а при коммутации была замкнута накоротко в своем начале, решение относительно напряжения может быть получено из выражения (8) с использованием граничных условий  $U(0, p) = 0, I(l, p) = 0$ :

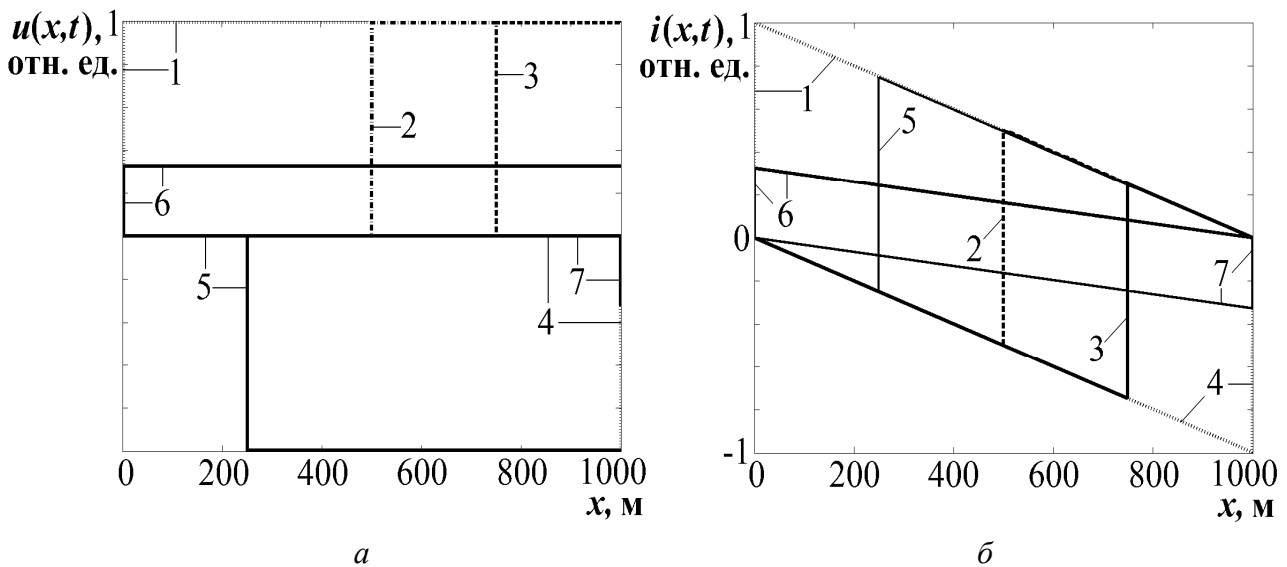
$$\begin{aligned}
u(x, t) = & \left[ K_1 \exp(Ix) + K_2 \exp(-Ix) \right] 1\left(t - \frac{x}{v}\right) - \\
& - Z_w \left[ K_3 \exp(-Ix) + K_4 \exp(-I(2l+x)) \right] 1\left(t - \frac{x+l}{v}\right) + (K_1 + K_2) \left[ \exp(Ix) \times \right. \\
& \left. \sum_{k=1}^{+\infty} (-1)^k \exp(-2kIl) 1\left(t - \frac{2kl-x}{v}\right) - \exp(-Ix) \sum_{k=1}^{+\infty} (-1)^k \exp(-2kIl) 1\left(t - \frac{2kl+x}{v}\right) \right] \\
& - Z_w \left\{ \left[ K_3 \exp(I(2l+x)) + K_4 \exp(Ix) \right] \sum_{k=1}^{+\infty} (-1)^k \exp(-2kIl) 1\left(t - \frac{2(k-1)l-x}{v}\right) + \right. \\
& \left. + \left[ K_3 \exp(-Ix) + K_4 \exp(-I(2l+x)) \right] \sum_{k=1}^{+\infty} (-1)^k \exp(-2kIl) 1\left(t - \frac{2(k+1)l+x}{v}\right) \right\},
\end{aligned} \tag{14}$$

где  $v = 1/\sqrt{L_0 C_0}$  – скорость распространения электромагнитной волны в линии.

Для линии без искажений, которая в установившемся режиме в своем начале была подключена к источнику постоянного напряжения и работала на холостом ходу, а при коммутации была разомкнута в своем начале, решение относительно тока может быть получено из выражения (8) с использованием граничных условий  $I(0, p) = 0$ ,  $I(l, p) = 0$ .

$$\begin{aligned}
 i(x, t) = & [K_3 \exp(Ix) + K_4 \exp(-Ix)] 1(t) - (K_3 + K_4) \exp(-Ix) 1\left(t - \frac{x}{v}\right) + \\
 & + [K_3 \exp(-Ix) + K_4 \exp(-I(2l+x))] 1\left(t - \frac{x+l}{v}\right) + (K_3 + K_4) [\exp(Ix) \times \\
 & \sum_{k=1}^{+\infty} (-1)^k \exp(-2kIl) 1\left(t - \frac{2kl-x}{v}\right) - \exp(-Ix) \sum_{k=1}^{+\infty} (-1)^k \exp(-2kIl) 1\left(t - \frac{2kl+x}{v}\right)] \quad (15) \\
 & - [K_3 \exp(I(2l+x)) + K_4 \exp(Ix)] \sum_{k=1}^{+\infty} (-1)^k \exp(-2kIl) 1\left(t - \frac{2(k-1)l-x}{v}\right) + \\
 & + [K_3 \exp(-Ix) + K_4 \exp(-I(2l+x))] \sum_{k=1}^{+\infty} (-1)^k \exp(-2kIl) 1\left(t - \frac{2(k+1)l+x}{v}\right)
 \end{aligned}$$

На рисунке приведены нормированные на максимум пространственные распределения напряжения (14) и тока (15) в линии при переходных процессах для различных моментов времени.



Эпюры напряжения (а) и тока (б) в линии при переходных процессах в моменты времени  $t$ : 1 – 0; 2 –  $0.5T$ ; 3 –  $0.75T$ ; 4 –  $T$ ; 5 –  $1.75T$ ; 6 –  $500T$ ; 7 –  $501T$ , где  $T = l/v$  – время распространения электромагнитной волны в линии

При расчете представленных распределений были приняты следующие параметры линии, характерные для контактных сетей подземного рудничного транспорта:  $C_0 = 2 \cdot 10^{-11}$  Ф/м;  $G_0 = 10^{-8}$  См/м;  $L_0 = 10^{-6}$  Гн/м;  $R_0 = 5 \cdot 10^{-4}$  Ом/м;  $l = 1$  км. Зависимость, представленная на рисунке а, соответствует режимам до комму-

тации  $u(x,0) = K_1 \exp(Ix) + K_2 \exp(-Ix)$  и после окончания переходного процесса  $u(x,+\infty) = 0$ , а зависимость на рисунке б – режимам до коммутации  $i(x,0) = K_3 \exp(Ix) + K_4 \exp(-Ix)$  и после окончания переходного процесса  $i(x,+\infty) = 0$ .

Таким образом, в настоящей работе:

1. Определены распределения напряжения и тока в контактной сети постоянного тока в установившемся режиме.
2. Получены аналитические решения системы дифференциальных уравнений относительно изображений напряжения и тока, описывающие переходный процесс в контактной сети постоянного тока при ненулевых начальных условиях.
3. Показано, что при переходном процессе в сети постоянного тока, в случае мероморфности функций изображений напряжения и тока при нулевых начальных условиях, соответствующие им функции при ненулевых условиях также будут мероморфными.
4. Разработана программная реализация предложенного метода анализа переходных процессов в контактной сети постоянного тока, тестирование которой показало согласованность получаемых оригиналов распределений напряжения и тока в сети с соответствующими граничными условиями и распределениями в установившихся режимах.

#### Список литературы

1. Крючков И.П., Неклепаев Б.Н., Старшинов В.А. Расчет коротких замыканий и выбор электрооборудования. – М.: Издательский центр “Академия”, 2006. – 416 с.
2. Кузнецов С.М. Защита тяговой сети от токов короткого замыкания. – Новосибирск: НГТУ, 2000. – Ч.2 – 85 с.
3. Бессонов Л.А., Теоретические основы электротехники. Электрические цепи. – М.: Гардарики, 2001. – 638 с.
4. Дёч Г. Руководство к практическому применению преобразования Лапласа и Z-преобразования. – М.: Наука, 1971. – 288 с.
5. Garbow B.S., Giunta G., Lyness J., Murli A. Software implementation of Week’s method for the inverse Laplace transform problem// ACM Trans. Math. Software. – 1988. – V. 15. – P.163-170.
6. Кожевников А.В., Денисова Г.Е. Обоснование выбора численного метода обратного преобразования Лапласа для нахождения мероморфных функций с конечным числом полюсов// Сб. науч. тр. НГУ. – 2007. – № 27. – С. 184-192.